

V-1 2層境界面における内部波特性

九州大学 工学部 正員 椿 東一郎
 九州大学 工学部 正員 小松 利光
 九州大学 大学院 学生員 ○今酒 誠

1 内部波の波高と周期

図-1は内部波の波形 $\eta(t)$ を示すもので、長周期の波(L-P波)の上に、かなり不規則な短周期の波(S-P波)が重畠している。このようない2重構造性が内部波の解析を困難にする最大の要因であるが、波の基本的な性質としては、 Eg の重力のとともに流速 U の作用で誘起された境界面波形であり、また実験によると内部波は急速に定常状態に漸近するので、十分発達した風波と類似の性質をもつてあろうと考えられる。以下、波高、周期について実験結果を整理した結果は

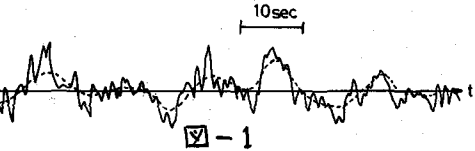


図-1

1) 風波では波高 H/A 、周期の $2\pi(\bar{T})^2$ (H, \bar{T} は平均値) の頻度分布がRayleigh分布に従うのに対して、

内部波では両者ともRayleigh分布に従いとくにS-P波は適合性がよい。(図は省略)

2) 風波では有義波高 gH_s/U_r^2 は gT_s/U_r の $3/2$ 乗に比例する。内部波についてこの関係を検討すると、S-P波については波と同様な関係

$$(EgH_s)/\bar{U}_r^2 = 3.15 \times 10^{-2} (EgT_s/\bar{U}_r)^{3/2} \quad (1)$$

が成立する。しかしL-P波の波高は周期に無関係で $(EgH_s)/\bar{U}_r^2 = 0.15$ となる。(図は省略)

2 内部波の波速

流れ方向に $\Delta X = 1\text{cm}$ 離して2本の内部波高計を設置し $\eta_1(t), \eta_2(t)$ の同時測定を行い、CO-spectrum, Quadrature-spectrum, 位相角 $\theta_{\eta_1\eta_2}(t)$ から周波数ごとの波速を求め、無次元表示したもののが図-2である。図中の実線は、上層流 U_1 、下層流 U_2 の深水K-H波に対応するもので

$$C/U_r = \frac{1}{2} [(4 + \frac{1}{4} \cdot Eg/4U_r) \pm \sqrt{(4 + \frac{1}{4} \cdot Eg/4U_r)^2 - 32}] \quad (2)$$

の計算結果である。上式から安定限界は $(Eg/4U_r)_c = 5.21$ であってこの値はS-P波の有義周波数の平均値 $(Eg/T_s)_c = 5.0$ にかなり近い。また対応波速は $C/U_r = 0.707$ である。これから $Eg/4U_r < 5.2$ の波は不安定で境界面流速に近い波速で下流に流されるS-P波であり $Eg/4U_r > 1.0$ の低周波の波はL-P波で基本的には、K-H波の負の波であることがわかる。つぎに $C/U_r = EgL/U_r \cdot U_r/Eg$ を用い、図-2の関係を波長 EgL/U_r^2 と周期 EgT_s/U_r の関係に直すことができる。図は省略するが、負のL-P波では、 Eg/U_r^2 の増加に対する波長 EgL/U_r^2 の増加はさわめて僅かである。

3 内部波のスペクトル

スペクトル関数形 $E(f)$ を規定する物理量として、 \bar{U}^2 と卓越周波数 f_m を用いると、その無次元表示は

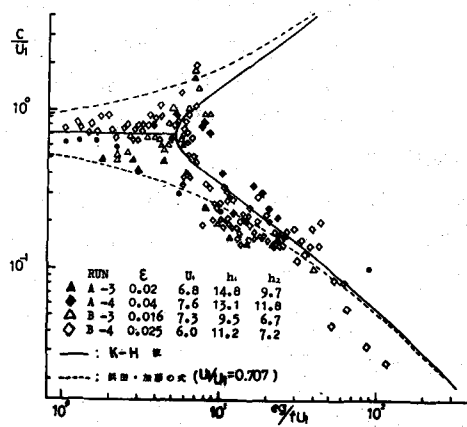


図-2

$$E(t) f_{ps} / \bar{\eta}^2 = F(t) f_{ps} \quad (3)$$

となる。スペクトルにはL・P波, S・P波に対応する2つのピークがあらわれるが、パワーへの寄与を直観的に示すために、 $E(t) f / \bar{\eta}^2$ と f/f_{ps} との関係を図-3に示す。図-4より

$$f_{ps} = 8 f_{pl} \quad (4)$$

の関係が認められ、図-3から両ピークの極値 $E(t) f$

と $f_{ps} E(f_{ps})$ の値は同程度である。またスペクトルは、

$f/f_{ps} > 1$ において急減しており、この領域では

$$E(t) f = Q \bar{\eta}^2 (f/f_{ps}) (f/f_{ps})^{-5}, Q=3.1 \quad (5)$$

従周波数側で口

$$E(t) f_{ps} / \bar{\eta}^2 = 1.0 \quad (6)$$

がほぼ成立している。以上はスペクトルを内部パラメータ $\bar{\eta}^2$ と f_{ps} で表したものであるが、まず $\bar{\eta}^2$ と f_{ps} との関係を求める。

外部パラメータである ϵg と U_1 を用いて

(1)式と同様の関係

$$\epsilon g f_{ps} U_1^2 = b (\epsilon g f_{ps} U_1)^{3/2}, b = 6.0 \times 10^{-3} \quad (7)$$

が得られる。(図-5) 式(7)を式(3), 式(5)に代入すると

$X \equiv \epsilon g f_{ps} U_1$ とおいて、スペクトル形は

$$E(t) (\epsilon g)^3 / U_1^5 \cdot (1/b X^2)^2 = F(U_1 \epsilon g X) \quad (3)$$

$$E(t) = Q b^3 / X (\epsilon g)^2 f^{-5} (t/f_{ps}) \quad (5)$$

(5)は平衡領域におけるスペクトルで風波のそれと同じ形をもつ。

上記の関係式より X が与えられれば、スペクトルの関数形 $E(t)$,

$\epsilon g \bar{\eta}^2 / U_1^2$, $\epsilon g T_{ps} / U_1$, $\epsilon g H_{ps} / U_1^2$ が決定され内部波の統計的性質

はほぼ明らかとなる。

以上のように、S・P波は風波に類似な特性をもつ不安定に近い波であり、L・P波は安定なK・H波であって、両者の卓越周波数には大きなちがいがあるが(式(4)), 卓越波長は $L_{pl}/L_{ps} = 1.5$, 波速は $C_{pl}/C_{ps} = 0.22$ 程度である。目視や可視化実験で両波は波長のやや大きく波速の小さい波と、波長のやや小さく波速の大きい波として観測される。

最後に X を規定するパラメータが問題として残された。Keulegan の不安定パラメータ $\psi \equiv U_1^3 / \epsilon g f$ (ψ :動粘性係数) と X の関係を調べてみたところ、 ψ の増加にともない X の減少する傾向がみられ、それが、バラツキがありはつきりしない。今後このパラメータを見出すことが必要である。

本研究にあたり実験およびデータ整理に協力された柴田敏彦氏、下田五郎君に深甚なる謝意を表す。

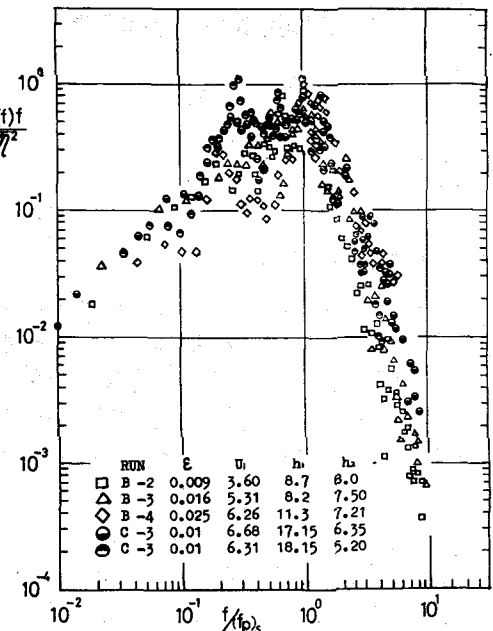


図-3

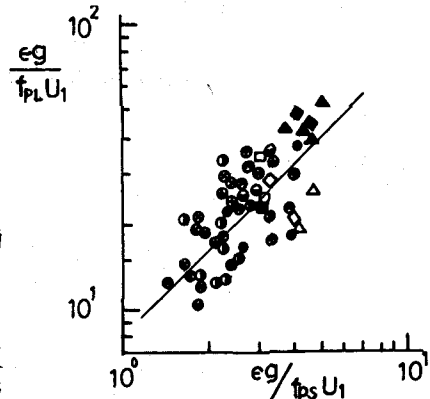


図-4

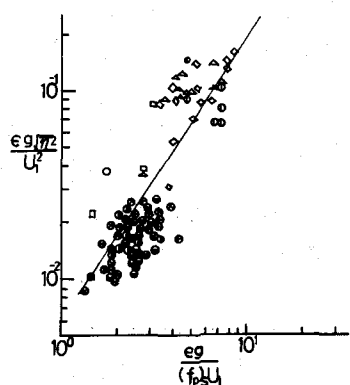


図-5